


Nachtrag

Erinnerung:

Die in diesem Abschnitt analysierten Diagramme sind amputierte 1PI-Amplituden, die als solche Bestandteile größerer Nicht-1PI-Diagramme sein können. Es geht daher nicht darum, ob diese Diagramme für sich genommen kinematisch möglich sind. Kinematische Einschränkungen kommen im konkreten Fall noch hinzu.

Z.B. ist der Prozess  $p \rightarrow e^+e^-$  kinematisch nicht möglich, da die drei Teilchen bei Viererimpulserhaltung nicht gleichzeitig on-shell sein können. Trotzdem existiert die Amplitude  aber für off-shell-Impulse und geht z.B. in Streuprozessen



Analog könnte man sich zunächst vorstellen, dass die Amplitude  $\mathcal{M}_n$  als Bestandteil eines Nicht-1PI-Diagramms „überlebt“, z.B.



Das Ergebnis  $\mathcal{M}_n = 0$  besagt jedoch, dass das (anders als z.B. in der Yukawa-Theorie) nicht der Fall ist.

Verallgemeinert auf  $d$  Raumzeit-Dimensionen

$$D = dL - P_e - 2P_f$$

$$\Rightarrow D = d + \left(\frac{d-4}{2}\right)V - \left(\frac{d-2}{2}\right)N_f - \frac{d-1}{2}N_e$$

$d=4$ :  $V$  fällt heraus

→ endlich Anzahl divergenter 1PI-Ampl.,  
divergente Diagramme zu allen Ordnungen  
Störungstheorie

„renormierbar“

$d < 4$ :  $D$  wird mit steigendem  $V$  kleiner

→ endlich Anzahl oberflächlich divergenter  
Diagramme

„super-renormierbar“

$d > 4$ :  $D$  wird mit steigendem  $V$  größer

→ alle Amplituden werden in genügend  
hoher Ordnung Störungstheorie divergent  
(∞ viele primitiv divergente Diagramme)

„nicht renormierbar“

Dimension der Felder und Kopplungskonstanten

$$[S] = [S = \int d^d x \mathcal{L}] = 1$$

$$\leadsto [\psi] = [\text{Energie}]^{\frac{d-1}{2}}, \quad [A_\mu] = [\text{Energie}]^{\frac{d-2}{2}}$$

$$[e] = [\text{Energie}]^n, \quad n = \frac{4-d}{2} \begin{cases} > 0 & \text{superrenb.} \\ = 0 & \text{renormiert.} \\ < 0 & \text{nicht renb.} \end{cases}$$

↑  
allgemeines Kriterium,  
auch für andere Theorien  
(vgl. Kap. V.1)

## IX.2 Counterterm-Renormierung der QED

Im Kap. VII.2 haben wir gesehen, dass die Massen und Kopplungen in der Lagrange-Dichte mit den nackten Größen  $m_0$  und  $e_0$  identifiziert werden sollten. Außerdem haben wir die renormierten Felder

$$\psi_R = Z_2^{-1/2} \psi \quad \text{und} \quad A_R^\mu = Z_3^{-1/2} A^\mu$$

eingeführt ( $\Rightarrow \bar{\psi}_R = Z_2^{-1/2} \bar{\psi}$ ,  $F_R^{\mu\nu} = Z_3^{-1/2} F^{\mu\nu}$ ).

$$\begin{aligned} \Rightarrow \mathcal{L}_{QED} &= \bar{\psi} (i\partial - m_0) \psi - \frac{1}{4} (F^{\mu\nu})^2 - e_0 \bar{\psi} \gamma^\mu \psi A_\mu \\ &= Z_2 \bar{\psi}_R (i\partial - m_0) \psi_R - \frac{1}{4} Z_3 (F_R^{\mu\nu})^2 \\ &\quad - Z_2 Z_3^{1/2} e_0 \bar{\psi}_R \gamma^\mu \psi_R A_{R\mu} \end{aligned}$$

Wir wollen nun versuchen, die Lagrange-Dichte ausschließlich durch renormierte Größen auszudrücken.

Für die Ladung hatten wir gefunden

$$e = Z_1^{-1} Z_2 Z_3^{1/2} e_0$$

(wobei sich auf Grund von Ward-Identitäten ergibt, dass  $Z_1 = Z_2$  gilt, aber das wollen wir vorläufig nicht ausnutzen).

$$\Rightarrow Z_2 Z_3^{1/2} e_0 = Z_1 e$$

Außerdem definieren wir

$$Z_1 = 1 + \delta_1, \quad Z_2 = 1 + \delta_2, \quad Z_3 = 1 + \delta_3$$

$$\text{sowie } Z_2 m_0 = m + \delta m$$

$$\begin{aligned} \Rightarrow \mathcal{L}_{QED} &= (1 + \delta_2) \bar{\psi}_R i \not{\partial} \psi_R - (m + \delta m) \bar{\psi}_R \psi_R \\ &\quad - \frac{1}{4} (1 + \delta_3) (F_R^{\mu\nu})^2 - (1 + \delta_1) e \bar{\psi}_R \gamma^\mu \psi_R A_{R\mu} \\ &= \bar{\psi}_R (i \not{\partial} - m) \psi_R - \frac{1}{4} (F_R^{\mu\nu})^2 - e \bar{\psi}_R \gamma^\mu \psi_R A_{R\mu} \\ &\quad + \bar{\psi}_R (i \delta_2 \not{\partial} - \delta m) \psi_R - \frac{1}{4} \delta_3 (F_R^{\mu\nu})^2 \\ &\quad - e \delta_1 \bar{\psi}_R \gamma^\mu \psi_R A_{R\mu} \end{aligned}$$

$\hat{=}$  ursprüngliche QED-Lagrange-Dichte mit physikal. Massen und Ladungen und renormierten Feldern

+ zusätzliche Terme („Counterterme“)



## Renormierungsbedingungen:

1. Die Masse des Elektrons bleibt nach den loop-Korrekturen unverändert bei  $m$ .
2. Das Residuum des Elektron-Propagators bleibt bei 1.
3. Das Residuum des Photon-Propagators bleibt unverändert.
4. Die Elektron-Ladung bleibt am Renormierungspunkt beim Wert  $e$ .

konkret:

- geordneter Elektron-Propagator (vgl. VII.2.1):

$$S^{-1}(p) = \not{p} - m - \Sigma(p) + i\varepsilon$$

$$\Sigma(p) = A(p^2) \not{p} + B(p^2)$$

$$\Rightarrow S^{-1}(p) = (1 - A(p^2)) \left[ \not{p} - \frac{m + B(p^2)}{1 - A(p^2)} + i\varepsilon \right]$$

$$\left( \begin{array}{l} 1. \ \& \ 2. : \quad S^{-1}(p) \Big|_{p^2=m^2} \stackrel{!}{=} \not{p} - m + i\varepsilon \\ \Rightarrow \quad A(m^2) \stackrel{!}{=} 0, \quad B(m^2) \stackrel{!}{=} 0 \end{array} \right)$$

↳ "Korrektur" auf S. IX-18

- gedrehter Photon-Propagator (vgl. VII.2.2):

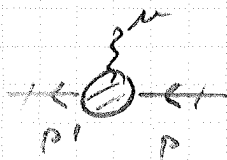
$$D_{\mu\nu}(q^2) = \frac{-g_{\mu\nu}}{q^2 + e^2 J(q^2) + i\varepsilon} + \text{eichabh., longit. Terme}$$

$$\begin{aligned} \text{mit } e^2 J(q^2) &= e^2 \left[ \underbrace{J(0)}_{=0} + q^2 J'(0) + \tilde{J}(q^2) \right] \\ &\equiv -q^2 \Pi(q^2) \quad (\hat{=} \text{Notation Peskin/Schroeder}) \end{aligned}$$

$$\Rightarrow D_{\mu\nu}(q^2) = \frac{-g_{\mu\nu}}{q^2(1 - \Pi(q^2)) + i\varepsilon} + \text{longit.}$$

$$3. : \quad \Pi(q^2=0) \stackrel{!}{=} 0$$

- gedrehter Elektron-Photon-Vertex (vgl. VII.2.3):



$$\begin{aligned} &= -ie \Gamma^\mu(p', p) \\ &= -ie \left( F_1(q^2) \gamma^\mu + F_2(q^2) \frac{i\sigma^{\mu\nu} q_\nu}{2m} \right) \\ &\quad (q = p' - p) \end{aligned}$$

Renormierungspunkt:  $q = 0$

$$4. : \quad \Gamma^\mu(p, p) \stackrel{!}{=} \gamma^\mu$$

( $\hat{=} F_1(0) \stackrel{!}{=} 1$ )

Vorgehensweise:

- Berechne  $\Sigma(p) = A(p^2)p + B(p^2)$ ,  $\Pi(q^2)$  und  $\Gamma(p', p)$  in der gewünschten Ordnung Störungstheorie einschließlich Counterterm-Diagramme und wähle die Counterterm-Parameter, so dass die Renormierungsbedingungen erfüllt sind.
- Für die Systematik der Störungsentwicklung müssen wir den Countertermen selbst Ordnungen in der Kopplungskonstante zuweisen. Dazu entwickeln wir zunächst

$$\delta_m = \sum_{n=0}^{\infty} \delta_m^{(n)}, \quad \delta_1 = \dots, \dots$$

wobei  $\delta_m^{(n)}$  etc von der Ordnung  $\mathcal{O}(\alpha^n) = \mathcal{O}(e^{2n})$  sind.

Da die Tree-level-Propagatoren und -Vertizes die Renormierungsbedingungen von sich aus erfüllen, verschwinden also die  $\mathcal{O}(\alpha^0)$ -Anteile der Counterterme, d.h. die Counterterme sind von der Ordnung  $\mathcal{O}(\alpha)$ .



Beispiel: Elektron-Selbstenergie

•  $\mathcal{O}(\alpha)$

$$-i \Sigma^{(1)} = \text{[Diagram 1]} + \text{[Diagram 2]}$$

The first diagram shows a fermion line with a self-energy loop (wavy line) attached to the top vertex. The second diagram shows a fermion line with a self-energy loop (wavy line) attached to the bottom vertex.

•  $\mathcal{O}(\alpha^2)$

$$-i \Sigma^{(2)} = \text{[Diagram 3]} + \text{[Diagram 4]} + \text{[Diagram 5]} + \text{[Diagram 6]} + \text{[Diagram 7]} + \text{[Diagram 8]} + \text{[Diagram 9]}$$

The diagrams for  $\mathcal{O}(\alpha^2)$  are:

- Diagram 3: Two fermion lines connected by a wavy line, with a self-energy loop on the top fermion line.
- Diagram 4: Two fermion lines connected by a wavy line, with a self-energy loop on the bottom fermion line.
- Diagram 5: Two fermion lines connected by a wavy line, with a self-energy loop on the wavy line.
- Diagram 6: Two fermion lines connected by a wavy line, with a self-energy loop on the top fermion line and a counterterm cross on the bottom vertex.
- Diagram 7: Two fermion lines connected by a wavy line, with a self-energy loop on the bottom fermion line and a counterterm cross on the top vertex.
- Diagram 8: Two fermion lines connected by a wavy line, with a self-energy loop on the wavy line and a counterterm cross on the top vertex.
- Diagram 9: Two fermion lines connected by a wavy line, with a self-energy loop on the wavy line and a counterterm cross on the bottom vertex.

(jeweils  $\mathcal{O}(\alpha)$ -Counterterme)

+ [Diagram 10] ( $\mathcal{O}(\alpha^2)$ -Anteil)

Diagram 10: A fermion line with a self-energy loop (wavy line) attached to the top vertex, with a counterterm cross on the top vertex.